

## چند روش تعامدی برای تحلیل غیرخطی هندسی

محمد رضایی پژند و محمد تاتار

چکیده: تاکنون شیوه‌های تعامدی زیادی برای تحلیل غیرخطی سازه‌ها به کار رفته است. از مهمترین آنها می‌توان به روشهای تعامدی: صفحه قائم، صفحه قائم بهنگام و تعامدی بار نامیزان اشاره نمود. باید دانست، بیشتر آنها کاستیهایی را برای تحلیل پاره‌ای از سازه‌ها دارند. در این مقاله، چند روش تعامدی جدید پیشنهاد می‌شود. راهکارهای مزبور، بر اساس بهبود عاملهای فنهای پیشین و افزایش نرخ همگرایی در آنها استوار گردیده‌اند. با تحلیل چند سازه توانایی این شیوه‌ها برای خوانندگان آشکار می‌گردد.

واژه‌های کلیدی: شیوه‌های تعامدی، تحلیل غیرخطی، صفحه قائم، صفحه قائم بهنگام، تعامدی بار نامیزان، نرخ همگرایی، معادله‌های بی‌بعد

هر یک از نقطه‌های تکرار بر روی سطح تکرار می‌باشد. دو سطح مزبور، برای سازه یک درجه آزادی، یا دو بردار  $\vec{t}_i$  و  $\vec{n}_i$  در شکل (۱) به نمایش در آمده‌اند. با توجه به شکل، رابطه‌های والسند به دو بردار مزبور، به صورت زیر نوشته می‌شوند:

$$\vec{t}_i = \Delta u_i \vec{e}_1 + \Delta \lambda_i P \vec{e}_2 \quad (1)$$

$$\vec{n}_i = \delta u_i \vec{e}_1 + \delta \lambda_i P \vec{e}_2 \quad (2)$$

در شکل (۱)،  $\Delta u_i$  و  $\Delta \lambda_i$ ، به ترتیب، نشانگر تغییرمکان و ضریب بار نموی در گام  $n$ ام هستند. همچنین،  $\delta u_i$  و  $\delta \lambda_i$ ، به ترتیب، نمایانگر تغییرمکان و ضریب بار تصحیح‌کننده در هر تکرار و  $P$  بردار بار مبنا می‌باشد. در روش صفحه قائم، مکان هندسی نقطه‌های تکرار، از فرض تعامد بردار  $\vec{t}_i$  بر بردار  $\vec{n}_i$  تعیین می‌گردد [3]. برای بهبود شرط همگرایی شیوه صفحه قائم، فن صفحه قائم بهنگام پیشنهاد شده است. که در آن بردار  $\vec{t}_i$  بر  $\vec{n}_i$  عمود می‌گردد. باید دانست، راهکارهای مزبور، در تحلیل پاره‌ای از سازه‌های بی‌بعد دچار واگرایی می‌شوند.

سیمونز و همکاران با حذف عامل بار در فن صفحه قائم بهنگام، روش تعامدی تغییرمکان نامیزان را معرفی کردند [4]. در سالهای ۱۹۸۴ و ۱۹۸۶، به ترتیب، فروید و فورد با توجه به شیوه‌های تعامدی صفحه قائم و بهنگام آن، راهکارهای تعامدی دیگری را ارائه نمودند [5، 6]. همچنین، روش تعامدی بار نامیزان، در سال ۱۹۹۵ توسط کرنک پیشنهاد شد [7، 8]. در این فن، بردار بار نامیزان کاهش یافته  $u_i$  بر تغییرمکان نموی  $\Delta u_i$  عمود می‌گردد. شیوه مزبور کوشش در صفر نمودن بار نامیزان دارد. خاطر نشان می‌نماید، تمامی این راهکارها مقدار  $\delta \lambda_i$  را محاسبه می‌کنند. رابطه‌ای که برای این منظور به کار می‌رود، «معادله شرط» نام دارد.

### ۱. مقدمه

پاره‌ای از سازه‌ها، دارای رفتار غیرخطی پیچیده‌ای هستند. به سخن دیگر، نمودار بار-تغییرمکان آنها، ترکیبی از حالت‌های نرم‌شوندگی و سخت‌شوندگی یا نقطه‌های حدی بار و تغییرمکان را دارند. در نتیجه، برای بررسی رفتار آنها نیاز به یک تحلیل پیشرفته می‌باشد. روش طول قوس ثابت یکی از این گونه تحلیلها می‌باشد که توجه زیادی به آن شده است [1]. باید دانست، در این راهکار، پس از محاسبه نخستین پاسخ تقریبی در هر گام بارگذاری، باید مقدار آن را تصحیح نمود. به نخستین تحلیل در هر گام بارگذاری، «گام پیشگویی» گویند. برای تصحیح پاسخ گام پیشگویی، نیاز به حل یک معادله درجه دوم خواهد بود. همچنین، مشکل انتخاب ریشه درست این معادله وجود دارد. از سوی دیگر، داشتن ریشه موهومی در این روش، هر گام از تحلیل سازه راگرایی تحلیل در آن گام خواهد شد. برای رفع این مشکلات، فنهای تعامدی صفحه قائم و صفحه قائم بهنگام پیشنهاد گردیده‌اند [1، 2].

در این شیوه‌ها، دو سطح دارای اهمیت است. نخستین آنها وابسته به سطحی می‌باشد که تکرارها بر روی آن انجام می‌پذیرند. سطح دوم، همانند شکل (۱)، نشانگر فاصله بین نقطه تعادلی  $(n-1)$  تا

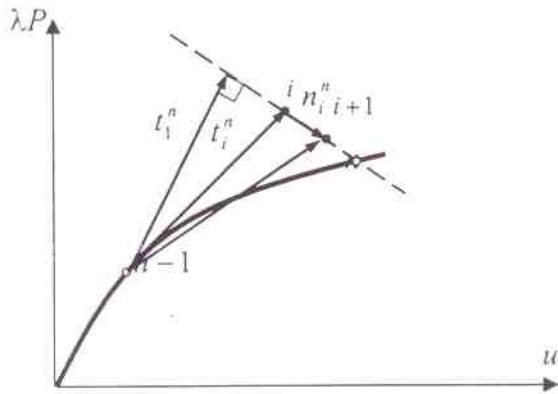
نسخه اصلی مقاله در تاریخ ۱۳۸۲/۴/۲، و پس از بازنگریهای لازم، در تاریخ ۱۳۸۴/۸/۱۴ به تصویب نهایی رسیده است.

بررسی داورها توسط دبیر تخصصی، دکتر عباس افشار صورت گرفته و مقاله توسط ایشان برای چاپ توصیه شده است.

دکتر محمد رضایی پژند، استاد گروه عمران دانشکده مهندسی دانشگاه فردوسی مشهد. mpajand@yahoo.com

محمد تاتار، کارشناس ارشد سازه، گروه عمران دانشکده مهندسی دانشگاه فردوسی مشهد. mtat2001@yahoo.com

$$\delta u_i^n = \delta u_i^{*n} + \delta \lambda_i^n \delta u_i^{**n} \quad (7)$$



شکل ۲. تعامد طول  $t_i^n$  بر  $n_i^n$

بر اساس شکل (۱)، مقدارهای  $\delta u_i^{*n}$  و  $\delta u_i^{**n}$  به ترتیب، زیر اثر بار نامیزان  $\tilde{r}_i^n$  و بار مبنای  $P$  ایجاد می‌شوند و از رابطه‌های زیر نتیجه می‌گردند:

$$K_i^n \delta u_i^{*n} = \tilde{r}_i^n \quad (8)$$

$$K_i^n \delta u_i^{**n} = P \quad (9)$$

چون مقدارهای  $\tilde{r}_i^n$  و  $P$  در آغاز هر تکرار معلوم می‌باشند، می‌توان به حل معادله‌های (۸) و (۹) پرداخت. همچنین، رابطه (۷) در معادله (۶) قرار می‌گیرد. سپس، مقدار  $\delta \lambda_i^n$  به صورت زیر پیدا خواهد شد:

$$\delta \lambda_i^n = - \frac{(\Delta u_i^n + \Delta \lambda_i^n P)^T \delta u_i^{*n}}{(\Delta u_i^n + \Delta \lambda_i^n P)^T (\delta u_i^{*n} + P)} \quad (10)$$

پس از آن، با استفاده از رابطه (۷)، مقدار  $\delta u_i^n$  محاسبه می‌شود. دانست، راهکار مزبور تقریبی از روش طول قوس ثابت است. همچنین، مرتبه همگرایی این فن از درجه دو می‌باشد.

### ۳. تعامد طول $t_i^n$ بر $\delta u_i^n$

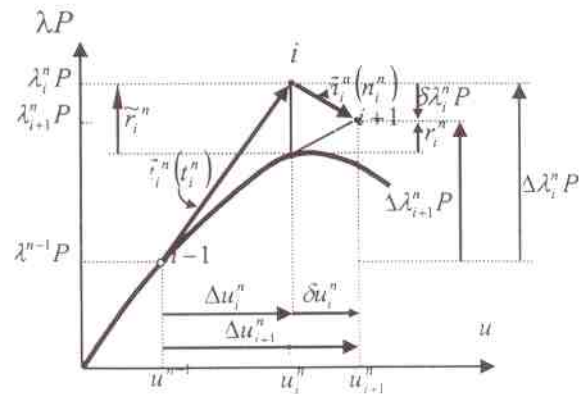
برای بهبود مرتبه همگرایی در فن پیشین، ایک راهکار دیگری پیشنهاد می‌گردد. در این شیوه، عامل بار در بردار  $n_i^n$  حذف می‌شود. با انجام این کار، معادله شرط به صورت زیر خواهد بود:

$$t_i^{*n} \delta u_i^n = 0 \quad (11)$$

با توجه به رابطه (۳)، معادله (۱۱) به شکل زیر در می‌آید:

$$(\Delta u_i^n + \Delta \lambda_i^n P)^T \delta u_i^n = 0 \quad (12)$$

باید افزود، رابطه (۱۱) هنگامی برقرار می‌گردد که مقدار  $\delta u_i^n$  در هر تکرار صفر شود. در سازه یک درجه آزادی، با صفر کردن تغییرمکان نامیزان  $\delta u_i^n$ ، در نخستین تکرار تصحیح‌کننده، همگرایی به دست می‌آید. در نتیجه، پاسخ گام پیشگویی به عنوان پاسخ نهایی پذیرفته



شکل ۱. فرآیند تحلیل در تکرار  $i$  ام

باید آگاه بود، هر یک از روشهایی که تاکنون مطرح شد، در تحلیل پاره‌ای از سازه‌های پیچیده شکست می‌خورند و واگرا می‌شوند. از این رو، در این مقاله تلاش خواهد شد که روشهای تعامدی توانایی رابطه‌سازی گردد. با بررسی عددی این شیوه‌ها، می‌توان به تواناییهای آنها دست یافت. در ادامه کار، نویسندگان چند نمونه عددی را به نظر خوانندگان می‌رسانند.

### ۲. تعامد طول $t_i^n$ بر $n_i^n$

در این شیوه، طول نموی  $t_i^n$  در گام پیشگویی، همواره بر سطح تکرار  $n_i^n$  در تکرارهای تصحیح‌کننده عمود می‌گردد. فن مزبور، مشابه روش صفحه قائم می‌باشد. باید دانست، در راهکار صفحه قائم، بردارهای  $\tilde{r}_i^n$  و  $n_i^n$ ، بر اساس نمودار بار-تغییرمکان در فضای با یک درجه آزادی تعریف می‌شوند. رابطه‌های (۱) و (۲)، در شکل (۱)، نشانگر این ویژگی هستند. یادآوری می‌کند، در بیشتر مسأله‌های واقعی، نمودار بار-تغییرمکان در فضایی با ابعاد زیاد قرار دارد. از این رو، نویسندگان بردارهای  $t_i^n$  و  $n_i^n$  را در حالت چند بعدی، بر اساس شکل (۱)، به صورت زیر می‌نویسند:

$$t_i^n = \Delta u_i^n + \Delta \lambda_i^n P \quad (3)$$

$$n_i^n = \delta u_i^n + \delta \lambda_i^n P \quad (4)$$

در این رابطه‌ها، بردارهای بار و تغییرمکان به جهت‌های معینی محدود نشده‌اند. با توجه به تعریف و مشابه فن صفحه قائم، معادله شرط به صورت زیر خواهد بود:

$$t_i^{*n} n_i^n = 0 \quad (5)$$

مرحله‌های تکرار را می‌توان در شکل (۲) دید.

با استفاده از رابطه‌های (۳) و (۴)، معادله (۵) به شکل زیر در می‌آید:

$$(\Delta u_i^n + \Delta \lambda_i^n P)^T (\delta u_i^n + \delta \lambda_i^n P) = 0 \quad (6)$$

برای محاسبه مقدار  $\delta \lambda_i^n$  در رابطه (۶)، باید اصل رویهم گذاری یا توزی و دات را به کار برد [9]. اصل مزبور به صورت رابطه زیر نوشته می‌شود:

این رابطه، نشانگر تعامد بردار  $t_i^n$  بر  $\delta u_i^n$  است. از سوی دیگر، با توجه به صفر شدن  $\delta u_i^n$  در هر تکرار و در حالت یک بعدی، مرتبه همگرایی بینهایت می‌گردد. با قرار دادن معادله (۷) در (۱۷)، مقدار  $\delta \lambda_i^n$  از رابطه زیر حساب می‌شود:

$$\delta \lambda_i^n = - \frac{(\Delta u_i^n + \Delta \lambda_i^n P)^T \delta u_i^n}{(\Delta u_i^n + \Delta \lambda_i^n P)^T \delta u_i^n} \quad (18)$$

### ۶. مثالها

در اینجا، نویسندگان برای شناخت ویژگیهای روشهای مورد بحث، نمونه‌های عددی فراوانی را حل نموده‌اند. با توجه به حجم محدود مقاله، به تحلیل چهار مسأله پرداخته می‌شود. مثالهای مزبور خریاهای مستوی و فضایی می‌باشند که دارای رفتار غیرخطی هندسی هستند [10] چون نرخ همگرایی روشهای تحلیلی برای سازه یک درجه آزادی تعیین می‌گردد، بنابراین، در مثال نخست از سازه یک درجه آزادی برای نخستین ارزیابی شیوه‌ها استفاده خواهد شد. خاطرنشان می‌نمایند، نویسندگان برای انجام تحلیل در گامهای پیشگویی، از نمو اندازه تغییرمکان بهره جسته‌اند. همچنین، برای متغیر نمودن گامهای نموی رابطه خودکار زیر را به کار می‌برند:

$$|\Delta u_i^n| = \pm |\Delta u_{i-1}^{n-1}| \left( \frac{J_D}{J_{n-1}} \right)^{\frac{1}{2}} \quad (19)$$

در اینجا،  $|\Delta u_i^n|$  و  $|\Delta u_{i-1}^{n-1}|$ ، به ترتیب، اندازه بردار تغییرمکان نموی در گامهای پیشگویی از نمونه‌های  $n$  و  $(n-1)$  ام هستند. برای جلوگیری از افزایش بیش از حد مقدار  $|\Delta u_i^n|$ ، اندازه بیشینه آن در مثالهای یکم و دوم، به ترتیب، به مقدارهای  $(1.5 * |\Delta u_i^n|)$  و  $(|\Delta u_i^n|)$  محدود می‌گردد. در رابطه (۱۹)، تعداد تکرارهای گام  $(n-1)$  و  $J_D$  تعداد تکرارهای است که به وسیله تحلیلگر تعیین می‌شود. افزون بر اینها، مقدارهای  $J_{max}$  و  $\lambda_{max}$ ، به ترتیب، به عنوان بیشینه تعداد تکرار و ضریب بار مشخص می‌گردند. از سوی دیگر، معیار همگرایی با نسبت  $\left( \varepsilon_c \geq \max |\delta_i u_i^n / u_i^n| \right)$  تعیین خواهد شد. در این نامعادله،  $\varepsilon_c$  مقدار خطای مجاز و  $k$ ، نشانگر مؤلفه  $k$  ام از بردار مربوطه است.

باید دانست، معادله‌هایی که در رابطه‌سازی شیوه‌های پیشنهادی به کار می‌روند، دارای ابعاد یگانه‌ای نیستند. این ویژگی، سبب ایجاد مشکلاتی عددی خواهد شد. برای کاهش مشکلاتی مزبور، می‌توان درایه‌های هر یک از بردارهای بار و تغییرمکان را بر درایه‌های بردار نظیرشان در گام پیشگویی نخستین گام بارگذاری تقسیم نمود. در این صورت، این معادله‌ها به فضای بدون بعد انتقال می‌یابند.

چند روش تعامدی برای تحلیل غیرخطی هندسی

می‌شود. در این صورت، مرتبه همگرایی در این شیوه بینهایت خواهد بود. از سوی دیگر، در سازه چند درجه آزادی، معادله (۱۱)، نشانگر تعامد بردار  $t_i^n$  بر  $\delta u_i^n$  در هر تکرار می‌باشد. اینک، با جایگذاری رابطه (۷) در (۱۲)، مقدار  $\delta \lambda_i^n$  به صورت زیر در دسترس قرار می‌گیرد:

$$\delta \lambda_i^n = - \frac{(\Delta u_i^n + \Delta \lambda_i^n P)^T \delta u_i^n}{(\Delta u_i^n + \Delta \lambda_i^n P)^T \delta u_i^n} \quad (13)$$

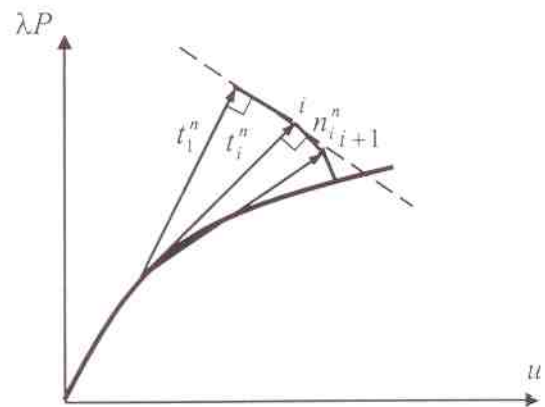
### ۴. تعامد طول $t_i^n$ بر $n_i^n$

باید آگاه بود، این شیوه مشابه فن صفحه قائم بهنگام می‌باشد. در اینجا، راهکار صفحه قائم بهنگام برای بهبود شرطهای همگرایی روش صفحه قائم به کار می‌رود. برای رسیدن به این هدف، معادله شرط مزبور به صورت زیر پیشنهاد می‌شود:

$$t_i^n T n_i^n = 0 \quad (14)$$

با به کار بردن رابطه‌های لازم در معادله (۱۴)، مقدار  $\delta \lambda_i^n$  به صورت زیر به دست می‌آید:

$$\delta \lambda_i^n = - \frac{(\Delta u_i^n + \Delta \lambda_i^n P)^T \delta u_i^n}{(\Delta u_i^n + \Delta \lambda_i^n P)^T (\delta u_i^n + P)} \quad (15)$$



شکل ۳. تعامد طول  $t_i^n$  بر  $n_i^n$

باید آگاه بود، در این روش نیز مرتبه همگرایی از درجه دو است.

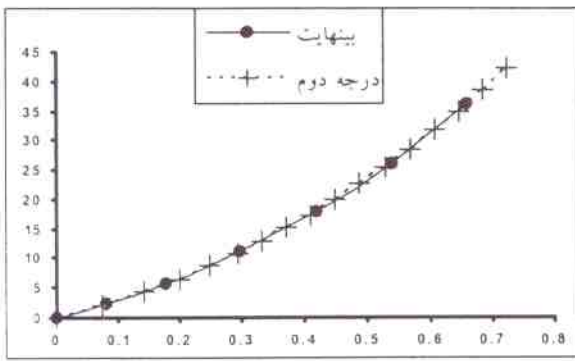
### ۵. تعامد طول $t_i^n$ بر $\delta u_i^n$

این شیوه، همانند فن (۳)، برای بهبود همگرایی روش (۴) به کار می‌رود. این بار، معادله (۱۱) به صورت زیر تغییر می‌یابد:

$$t_i^n T \delta u_i^n = 0 \quad (16)$$

با استفاده از رابطه (۳)، معادله (۱۶) به شکل زیر در می‌آید:

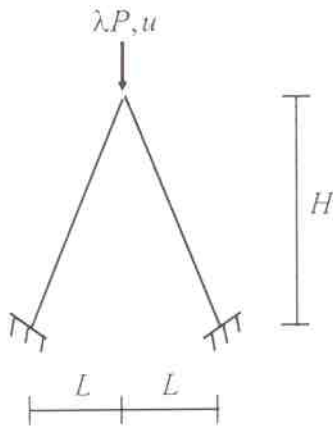
$$(\Delta u_i^n + \Delta \lambda_i^n P)^T \delta u_i^n = 0 \quad (17)$$



شکل ۵. نمودار بار- تغییرمکان خرپای میله‌ای (محور عمودی:  $\lambda P/AE$  محور افقی:  $u/H$ )

۶-۲. خرپای دو عضوی

این سازه، همانند شکل (۶)، دو عضو و دو درجه آزادی دارد. این مثال برای بررسی مسأله کماتش و پایداری توسط تعدادی پژوهشگران مورد توجه قرار گرفته است [12, 13].

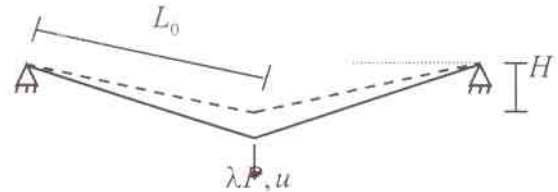


شکل ۶. خرپای دو عضوی خیزدار

باید دانست، مشخصه‌های این سازه، بدون بعد هستند. این خرپا، مثال مناسبی برای بررسی شیوه‌های پیشنهادی خواهد بود که معادله وابسته آنها دارای ابعاد مختلفی می‌باشند. مشخصه‌های سازه به صورت:  $A=1$ ،  $E=100$ ،  $H=250$  و  $L=100$  فرض می‌شوند. برای انجام تحلیل، مقدارهای:  $P=100$ ،  $\lambda_{max}=0.8$ ،  $\lambda_{min}=0.1$ ،  $J_D=3$  و  $J_{max}=10$ ،  $\epsilon_C=10^{-5}$  به کار می‌روند. مسیر ایستایی خرپای شکل (۶)، دارای شیب تندی در ناحیه بازگشت بار است. نمودار مزبور را می‌توان در شکل (۷) دید. همچنین، نتیجه تحلیل به وسیله جدول (۲) در دسترس قرار می‌گیرد. با توجه به جدول مزبور، تمامی فنهای با نرخ همگرایی بینهایت توانایی گذر از نمودار بار- تغییرمکان را با کمترین تعداد نمو و تکرار دارا می‌باشند. بر خلاف آن، روشهای با همگرایی درجه

۶-۱. خرپای میله‌ای

این سازه، همانند شکل (۴)، به صورت یک خرپای دو عضوی با خیز کم اختیار می‌شود. رابطه‌سازی این خرپا، با در نظر گرفتن تنها یک درجه آزادی در جهت نیروی خارجی  $\lambda P$ ، یا همان جهت  $u$ ، صورت می‌گیرد [11].



شکل ۴. خرپای میله‌ای

مشخصه‌های فیزیکی این سازه، به صورت:  $A=50mm^2$ ،  $E=2*10^5 N/mm^2$ ،  $L_0=500mm$  و  $H=25mm$  فرض می‌گردند. در اینجا،  $E$ ،  $A$  و  $L_0$ ، به ترتیب، سطح مقطع، ضریب کشسانی مواد و طول نخستین هر عضو، و  $H$ ، جست خرپا می‌باشد. برای انجام تحلیل به صورت خودکار، مقدارهای:  $P=1000N$ ،  $\lambda_{max}=4.5$ ،  $J_D=3$ ،  $J_{max}=5$  و  $\Delta\lambda_1=0.2$ ،  $\epsilon_C=10^{-5}$  انتخاب می‌شوند. در این سازه،  $P$  بردار بار مینا و  $\Delta\lambda_1$  ضریب بار نمو در نخستین گام پیشگویی است. بر اساس نمودار شکل (۵)، سازه مزبور دارای رفتار ساده سخت‌شوندگی می‌باشد. نتیجه‌های تحلیل را می‌توان در جدول (۱) دید. برای آسانی کار، شماره بخش و روش یکسان اختیار می‌شوند. بر اساس جدول مزبور، کلیه شیوه‌های با همگرایی بینهایت، در هر گام بارگذاری با دو تکرار به جواب می‌رسند. تکرار نخست، مربوط به گام پیشگویی می‌باشد. بنابراین، رابطه تعامدی برای تکرار دوم به کار می‌رود. این ویژگی، درستی مرتبه همگرایی بینهایت در فنهای تعامدی مربوطه را تأیید می‌کند. تحلیل با این روشها، در شش نمو و دوازده تکرار انجام می‌پذیرد. از سوی دیگر، همانند جدول (۱)، راهکارهای با نرخ همگرایی درجه دوم، به شانزده نمو و شصت و چهار تکرار نیازمندند. این ویژگی نمایانگر افزایش هزینه محاسبات بر اساس نرخ همگرایی پایین است. شکل (۵)، نشانگر پیروزی شیوه‌های تعامدی، با ترخهای همگرایی درجه دو و بینهایت، در پیمودن نمودار بار- تغییرمکان خرپای میله‌ای می‌باشد.

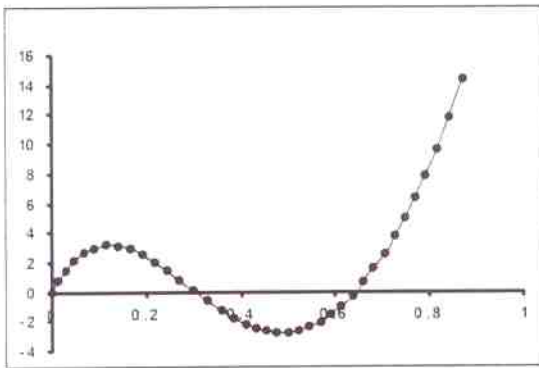
جدول ۱. تحلیل خرپای میله‌ای

روش	نرخ همگرایی	تعداد نمو	تعداد تکرار
فنهای (۳) و (۵)	بینهایت	۶	۱۲
شیوه‌های (۲) و (۴)	درجه دوم	۱۶	۶۴

مشخصه‌های خریا به صورت:  $E = 3 \cdot 10^3 N/mm^2$ ,  $A = 317 mm^2$ ,  $L = 433 mm$ ,  $H = 62.16 mm$ ,  $S = 250 mm$  و  $W = 20 mm$  انتخاب می‌شوند. در آغاز تحلیل، مقادیرهای:  $P = 150 N$ ,  $\Delta t_1 = 0.5$ ,  $\lambda_{max} = 10$ ,  $J_D = 5$ ,  $J_{max} = 15$  و  $\epsilon_C = 10^{-4}$  فرض می‌گردند. بر اساس نتیجه‌های جدول (۳)، از میان فتهای با نرخ همگرایی بینهایت، شیوه (۳) در تحلیل طاق خریایی شکل (۸) دچار واگرایی می‌شود. بر خلاف آن، راهکار (۵) توانایی پیمودن نمودار بار-تغییرمکان طاق مزبور را دارا می‌باشد. این نمودار را می‌توان در شکل (۹) دید. نمودار مزبور، برای دو درجه آزادی  $u$  و  $v$  در شکل (۸) رسم می‌گردد. نتیجه‌های تحلیل فن (۵)، در جدول (۳) درج گردیده است.

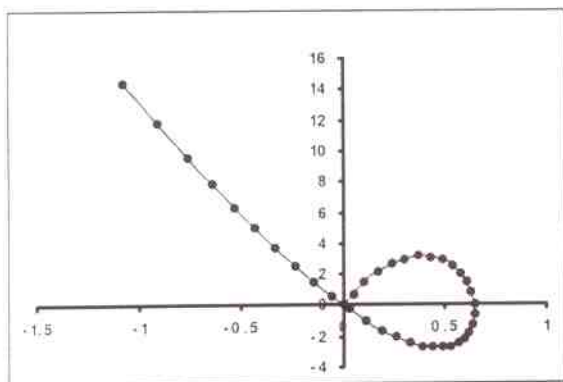
جدول ۳. تحلیل طاق خریایی ۲۴ عضوی

تعداد تکرار	تعداد نمو	نرخ همگرایی	روش
—	—	بینهایت	تعامد طول $I_1''$ بر $\delta u_1''$ (۳)
(۱۴)	۳۷	بینهایت	تعامد طول $I_1''$ بر $\delta u_1''$ (۵)



الف: نمودار تغییرمکان در جهت  $u$

(محور عمودی:  $(\lambda P/AE) \times 10^{-4}$  محور افقی:  $u/H$ )



ب: نمودار تغییر مکان در جهت  $v$

(محور عمودی:  $(\lambda P/AE) \times 10^{-4}$  محور افقی:  $(v/H) \times 10^{-2}$ )

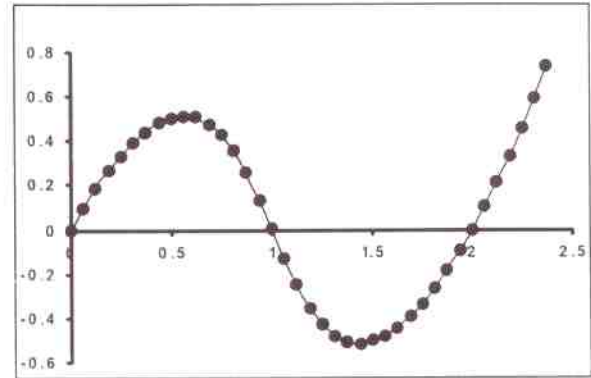
شکل ۹. نمودار بار-تغییرمکان طاق خریایی ۲۴ عضوی

چند روش تعامدی برای تحلیل غیرخطی هندسی

دوم، در گذر از شاخه بازگشت بار دچار واگرایی می‌شوند. این ویژگی، نمایانگر کاستی راهکارهای مربوطه است.

جدول ۲. تحلیل خریای دو عضوی خیزدار

روش	نرخ همگرایی	تعداد نمو	تعداد تکرار
فتهای (۳) و (۵)	بینهایت	۳۸	۷۶
شیوه‌های (۲) و (۴)	درجه دوم	—	—

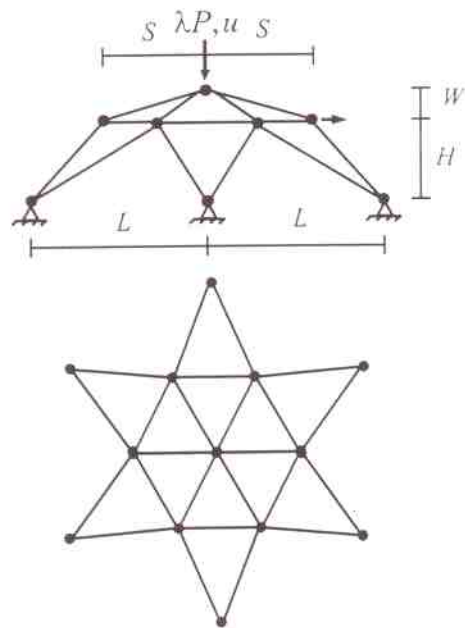


شکل ۷. نمودار بار-تغییرمکان خریای دو عضوی

(محور عمودی:  $\lambda P/AE$  محور افقی:  $u/H$ )

۳-۶. طاق خریایی ۲۴ عضوی

سازه (۸)، به دو صورت خریا و قاب فضایی، توسط برخی از پژوهشگران برای تحلیل غیرخطی به کار رفته است [8, 14]. در اینجا، سازه به صورت خریای فضایی یا ۲۴ عضو و ۲۱ درجه آزادی مورد تحلیل قرار می‌گیرد.

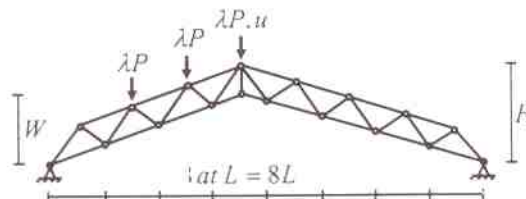


شکل ۸. طاق خریایی ۲۴ عضوی

۴-۶ خرابای قوسی ۳۳ عضوی

همانند شکل (۱۰)، این خرابای گنبدی دارای ۳۳ عضو و ۳۲ درجه آزادی است. این سازه، به دلیل بارگذاری و هندسه نامتقارن، رفتار غیرخطی شدیدی دارد [15].

مشخصه‌های سازه برابر با:  $E = 3 \times 10^5 \text{ N/mm}^2$ ،  $A = 300 \text{ mm}^2$ ،  $H = 110 \text{ mm}$ ،  $L = 100 \text{ mm}$  و  $W = 70 \text{ mm}$  می‌باشند در آغاز تحلیل، مقدارهای نخستین:  $P = 2 \times 10^5 \text{ N}$ ،  $\Delta \lambda_1^1 = 0.3$ ،  $\lambda_{\max} = 2$ ،  $J_D = 6$ ،  $J_{\max} = 10$  و  $\epsilon_C = 10^{-4}$  فرض می‌گردند.

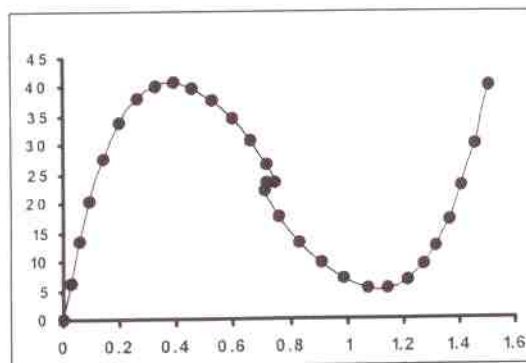


شکل ۱۰. خرابای قوسی ۳۳ عضوی

سازه مزبور، دارای رفتار پیچیده‌ای همانند شکل (۱۱) است. در نمودار بار-تغییرمکان این سازه، شاخه‌های بازگشت بار و تغییرمکان وجود دارند. یادآوری می‌کند، از میان راهکارهای پیشنهادی، فن تعامدی  $t_1^*$  بر  $\delta u_1^*$  (روش ۵)، توانایی خوبی در تحلیل سازه‌های پیشین داشت. نویسندگان، برای اطمینان از توانایی روش مزبور در تحلیل سازه‌های پیچیده، سازه شکل (۱۰) را با این شیوه مورد تحلیل قرار می‌دهند. نتیجه‌های تحلیل به صورت نمودار شکل (۱۱) و جدول (۴) درج شده‌اند، بر اساس این نتیجه‌ها، راهکار (۵) توانایی تحلیل مثال مزبور را بخوبی دارا می‌باشد.

جدول ۴. تحلیل خرابای قوسی ۳۳ عضوی

روش	نرخ همگرایی	تعداد نمو	تعداد تکرار
تعامد طول $t_1^*$ بر $\delta u_1^*$ (۵)	بینهایت	۲۹	۱۶۸



شکل ۱۱. نمودار بار-تغییرمکان خرابای قوسی ۳۳ عضوی

(محور عمودی:  $(\lambda P/AE) \times 10^{-4}$  محور افقی:  $u/H$ )

۷. نتیجه‌گیری

در این مقاله، از راهکارهای تعامدی سخن به میان آمد. همچنین، چند روش تعامدی برای تحلیل غیرخطی سازه‌ها رابطه‌سازی شد. باید افزود، برای محاسبه ضریب بار نموی در هر تکرار با روشهای تعامدی، تنها نیاز به حل یک رابطه خطی می‌باشد. از میان شیوه‌های تعامدی پیشنهادی، تنها فن تعامدی  $t_1^*$  بر  $\delta u_1^*$  (روش ۵)، راهکاری مناسب برای تحلیل سازه‌های پیچیده است. روش مزبور، ترکیبی از فنهای صفحه قائم پهنگام و تعامد تغییرمکان نامیران می‌باشد که برای سازه با درجه آزادی زیاد گسترش یافته‌اند. این راهکار نرخ همگرایی بینهایت دارد.

مراجع

[1] Hinton, E., Owen, D.R.J. and Taylor, C., *Recent Advances in Nonlinear Computational Mechanics* Pinneridge Press Limited Swansea, U.K., 1982.

[2] Wempner, G.A., "Discrete Approximations Related to Nonlinear Theories of Solids", *Int.J.Solids.Struct.*, Vol.15, 1979, pp.529-551.

[3] Riks, E., "An Incremental Approach to the Solution of Snapping and Buckling Problems", *Int.Solid.Struct.*, Vol.15, 1979, pp.529-551.

[4] Gierliniski, J.T. and Smith, T.R.G., "A Variable Load Iteration Procedure for Nonlinear Finite Element Analysis", *Comput.Struct.*, Vol.21, No.5, 1985, pp.1085-1094.

[5] Kouhia, R., "On the Solution of Non-Linear Finite Element Equations", *Comput.Struct.*, Vol.44, No.1/2, 1992, pp.243-254.

[6] Ford, B.W.R and Stiemer, S.F., "Improved Arc Length Orthogonality Methods for Nonlinear Finite Element Analysis", *Comput.Struct.*, Vol.27, 1987, pp.625-630.

[7] Krenk, S., "An Ortogonal Residual Procedure for Non-Linear Finite Element Equations", *Int.J.Numer.Meth.Eng.*, Vol.38, 1995, pp.823-839.

[8] Krenk, S. and Hededal, O., "A Dual Ortogonality Procedure for Non-Linear Finite Element Equations", *Comp.Meth.Appl.Mech.Eng.*, Vol.123, 1995, pp.95-107.

[9] Batoz, J.L. and Dhatt, G., "Incremental Displacement Algorithm for Nonlinear Problems", *Int.J.Numer.Meth.Eng.*, Vol.14, 1979, pp.1262-1266.

[10] Fellipa, C.A., "Nonlinear Finite Element Methods", Asen 5107, <http://Kaswww.Colorado.edu/Courses/d/Nfemd/>, (Spring 1999).

[11] Crisfield, M.A., *Non-Linear Finite Element Analysis of Solids and Structures*, J.Willy & Sons, New York, 1991.

[12] Hartono, W., Nishino, F., Fujiwara, O. and Karasudhi, P., "On Tracing Bifurcation Equilibrium Paths of

[14] Meek, J.L. and Tan, H.S., "Geometrically Nonlinear Analysis of Space Frame by an Incremental Iterative Technique", *Comp.Meth.Appl.Mech.Eng.*, Vol.42, 1984, pp.261-282.

[15] Krishnamoorthy, C.S., Ramesh, G. and Dinesh, K.U., "Post-Buckling Analysis of Structures by Three-Parameter Constrained Solution Techniques", *Finit.Elem.Anal.Design.*, Vol.22, 1996, pp.109-142.

*Geometrically Nonlinear Structures*", *Struc.Eng./Earth.Eng.*, Vol.4, No.1, 1987, pp.11-17.

[13] Casciaro, R., Salerno, G. and Lanzo, A.D., "Finite Element Asymptotic Analysis of Slender Elastic Structures: A Simple Approach", *Int.J.Numer.Meth.Eng.*, Vol.35, 1992, pp.1397-1426.